

文章编号:1671 - 7147(2003)06 - 0553 - 04

过控制顶点的 B 样条曲线

林 意¹, 熊汉伟², 骆少明³, 张湘伟³

(1. 江南大学 信息工程学院, 江苏 无锡 214036; 2. 汕头大学 机电学院, 广东 汕头 515063;
3. 广东工业大学 机电学院, 广东 广州 510090)

摘 要: 提出了一种 B 样条曲线构造, 得到了通过控制顶点的二次和三次 B 样条曲线, 这种曲线可通过调整控制顶点进行形状修改并始终通过控制点, 又不必作反求计算, 修改曲线形状很快, 同时又能保证精度。

关键词: B 样条曲线; 控制顶点; 反求计算

中图分类号: TP 391.41

文献标识码: A

The B-Spline Curve Passing Control Points

LIN Yi¹, XIONG Han-wei², LUO Shao-ming³, ZHANG Xiang-wei³

(1. School of Information Technology, Southern Yangtze University, Wuxi 214036, China; 2. School of Mechanoelectronic Engineering, Shantou University, Shantou 515063, China; 3. School of Mechanoelectronic Engineering, Guangdong polytechnic University, Guangzhou 510090, China)

Abstract: The general B-spline curve does not pass the control points. But the B-spline curve can pass the control points when correcting shape of curve. This is Anti-calculate and An equation can be solved. However, it is difficulty to correct shape of curve real-time. In this paper, a new arithmetic about how to get B-spline curve which pass the control points and need not to solve equation, has been proposed. It is easy with the arithmetic to correct the shape of curve real-time.

Key words: B-spline; control points; anti-calculate

目前曲线造型主要有 Bezier 曲线、B 样条曲线和 NURBS 曲线, 这些曲线以控制顶点作为权^[1,2], 相应的函数作为基线性组合而成。然而, 控制顶点的位置仅仅控制了曲线的基本形状, 而不能直接控制曲线的变化, 常常不能把曲线设计到所需要的位置^[3]。作为曲线的应用, 有必要研究在曲线保型的同时还必须通过控制点的问题。这是个反求过程, 即通过反求 B 样条曲线的理论控制顶点, 保证曲线通过实际控制点。这种方法的缺点在于当通过的实际控制点改变时, 理

论控制顶点与实测不一致, 要重新反求理论控制顶点。作者利用 B 样条基底的性质, 提出了一种曲线造型方法, 产生的曲线通过控制点, 且保留 B 样条的性质; 当通过的实际控制点变化时, 无需作反求计算, 修正速度快, 且保证精度。

1 B 样条函数与 B 样条曲线

B 样条函数的定义很多, 这里用截尾幂函数的差商定义 B 样条。

收稿日期: 2003 - 10 - 09; 修订日期: 2003 - 11 - 20.

基金项目: 国家自然科学基金项目 (50105013) 资助课题。

作者简介: 林意 (1963 -), 男, 江苏无锡人, 工学博士, 副教授。

定义1 $(t-x)_+^k = \begin{cases} (t-x)^k & t \geq x \\ 0 & t < x \end{cases}$

定义2 称 $M_{i,k}(x) = [x_i, x_{i+1}, \dots, x_{i+k+1}](t-x)_+^k$ 为 k 次 ($k+1$ 阶) B 样条函数, 并将 $N_{i,k}(x) = (x_{i+k+1} - x_i) M_{i,k}(x)$ 称为 k 次规范 B 样条函数, 为了方便, 统称 B 样条.

于是, 不难推得等距分布节点的 3 次 (4 阶) B 样条函数为

$$N_{i,3}(u) = \begin{cases} 0 & x \in [x_i, x_{i+4}] \\ \frac{1}{6} u^3 & x \in [x_i, x_{i+1}] \\ \frac{1}{6} (1+3u+3u^2-3u^3) & x \in [x_{i+1}, x_{i+2}] \\ \frac{1}{6} (4-6u^2+3u^3) & x \in [x_{i+2}, x_{i+3}] \\ \frac{1}{3} (1-u)^3 & x \in [x_{i+3}, x_{i+4}] \end{cases} \quad (1)$$

式中 $u = x - x_j, u \in [0, 1] \quad (j = i, i+1, i+2, i+3)$

根据 B 样条基函数, B 样条曲线方程可写为

$$p(u) = \sum_{i=0}^n d_i N_{i,k}(u)$$

其中 $d_i (i = 0, 1, \dots, n)$ 为控制顶点.

这种 B 样条曲线有许多优点, 如: 具有局部性质, 有很高的光滑性等. 但其缺点是控制点不在曲线上. 特别地, 二次均匀 B 样条曲线具有如下形式

$$S_k(u) = \frac{1}{2} (1, u, u^2) \begin{bmatrix} 1 & 1 & 0 \\ -2 & 2 & 0 \\ 1 & -2 & 1 \end{bmatrix} \begin{bmatrix} d_k \\ d_{k+1} \\ d_{k+2} \end{bmatrix} \quad (2)$$

其中: d_k 为控制顶点, $0 \leq u \leq 1, k = 0, 1, \dots, n-2$. $S_k(u)$ 过 $d_k d_{k+1}$ 的中点 b_k , 并且在 b_k 处与 $d_k d_{k+1}$ 相切.

2 过控制点的二次均匀 B 样条曲线

若已知一组点 b_0, b_1, \dots, b_{n+1} , 先求出一组点 $d_i (i = 1, 2, \dots, n)$, 使得 b_k 成为 $d_k d_{k+1}$ 的中点.

令 $d_0 = (x_0, y_0, z_0)$ 是空间任意一点, 则 $d_1 = 2b_0 - d_0$, 使 b_0 成为 d_0, d_1 的中点.

同样, $d_k = 2b_{k-1} - d_{k-1} (k = 1, \dots, n)$ 使 b_{k-1} 成为 d_{k-1}, d_k 的中点.

一般而言, 这种 $d_k (k = 0, 1, \dots, n)$ 不是唯一的, 但为了使 d_k 成为二次均匀样条曲线的控制点, 还必须满足一个边界条件

$$\dot{S}(0) = a_0$$

由 (2) 式得 $S_0(u) = \frac{1}{2} [(1-2u+u^2)d_0 + (1+2u-2u^2)d_1 + u^2 d_2] = (-2u+2u^2)d_0 + (1+2u-4u^2)b_0 + u^2 b_1$,

$$\dot{S}(u) = (-2+4u)d_0 + (2-8u)b_0 + 2ub_1,$$

$$\dot{S}(0) = -2d_0 + 2b_0,$$

$$\text{故 } d_0 = \frac{1}{2}(2b_0 - a_0).$$

因而, 若曲线经过 b_0, b_1, \dots, b_{n-1} 并满足边界

条件, 则其控制点为: $\frac{1}{2}(2b_0 - a_0), (2b_0 - a_0), \dots, d_k = (2b_{k-1} - d_{k-1})$.

相应地, 对固定初始点方向的二次均匀 B 样条曲线, 有

$$S_0(u) = \frac{1}{2} (1, u, u^2) \begin{bmatrix} 1 & 1 & 0 \\ -2 & 2 & 0 \\ 1 & -2 & 1 \end{bmatrix} \begin{bmatrix} \frac{1}{2}(2b_0 - a_0) \\ b_0 + \frac{1}{2}a_0 \\ 2b_1 - b_0 - \frac{1}{2}a_0 \end{bmatrix}$$

$$S_k(u) = \frac{1}{2} (1, u, u^2) \begin{bmatrix} 1 & 1 & 0 \\ -2 & 2 & 0 \\ 1 & -2 & 1 \end{bmatrix} \begin{bmatrix} d_k \\ d_{k+1} \\ d_{k+2} \end{bmatrix}.$$

其中: $d_k = 2b_{k-1} - d_{k-1} \quad k = 1, \dots, n-2; u \in [0, 1]; a_0$ 是初始方向; $b_k (k = 0, 1, \dots, n)$ 是要经过的控制点. 实际问题中的边界条件可能不一样, 但可类似处理.

3 过控制点的三次均匀 B 样条

虽然由 (1) 式知, $S_{l-1}(1) = S_l(0), \dot{S}_{l-1}(1) = \dot{S}_l(0), \ddot{S}_{l-1}(1) = \ddot{S}_l(0)$, 即样条曲线在分段连接点处是 C^2 连续的. 由于 d_1 与 b_1 无直接几何关系, 因而不能按二次均匀 B 样条那样处理. 下面将理论控制点直接用实际控制点表示, 把用于插值 $n+1$ 个数据点 $p_i (i = 0, \dots, n+3)$ 的三次均匀 B 样条写为

$$S_i(t) = \frac{1}{6} (1-3t+3t^2-t^3) d_i + \frac{1}{6} (4-6t^2+3t^3) d_{i+1} + \frac{1}{6} (1+3t+3t^2-3t^3) d_{i+2} + \frac{1}{6} t^3 d_{i+3},$$

并让其满足 $S_i(0) = p_i \quad (i = 0, \dots, n)$ 代入后, 得

$$\begin{cases} \frac{1}{6} d_0 + \frac{4}{6} d_1 + \frac{1}{6} d_2 = p_0 \\ \frac{1}{6} d_1 + \frac{4}{6} d_2 + \frac{1}{6} d_3 = p_1 \\ \dots \\ \frac{1}{6} d_{n-3} + \frac{4}{6} d_{n-2} + \frac{1}{6} d_{n-1} = p_{n-3} \end{cases}$$

其中: d_i 是理论控制点, 而 p_i 是实际控制点. 这有 $n-2$ 个方程, n 个未知数, 需添加两个边界条件, 一

个边界条件是 $\dot{S}_0(0) = q_0, \dot{S}_{n-3}(0) = q_{n-3}$,

故
$$\frac{1}{2}(-d_0 + 3d_2) = q_0$$

$$\frac{1}{2}(-d_{n-3} + 3d_{n-1}) = q_{n-3}$$

则方程为
$$\begin{cases} \frac{1}{2}(-d_0 + 3d_2) = q_0 \\ \frac{1}{6}d_0 + \frac{4}{6}d_1 + \frac{1}{6}d_2 = p_0 \\ \frac{1}{6}d_1 + \frac{4}{6}d_2 + \frac{1}{6}d_3 = p_1 \\ \dots \\ \frac{1}{6}d_{n-3} + \frac{4}{6}d_{n-2} + \frac{1}{6}d_{n-1} = p_{n-3} \\ \frac{1}{2}(-d_{n-3} + 3d_{n-1}) = q_{n-3} \end{cases}$$

把方程组改写为

$$\begin{pmatrix} -\frac{1}{2} & 0 & \frac{3}{2} \\ 0 & \frac{4}{6} & \frac{4}{6} \\ \frac{1}{6} & \frac{4}{6} & \frac{1}{6} \\ \dots & \dots & \dots \\ \frac{2}{9} & \frac{4}{6} & 0 \\ -\frac{1}{2} & 0 & \frac{3}{2} \end{pmatrix} \begin{pmatrix} d_0 \\ d_1 \\ d_2 \\ \dots \\ d_{n-2} \\ d_{n-1} \end{pmatrix} = \begin{pmatrix} q_0 \\ p_0 + \frac{1}{3}q_0 \\ p_1 \\ \dots \\ p_{n-3} - \frac{1}{9}q_{n-3} \\ q_{n-3} \end{pmatrix}$$

于是,只需解下列方程组

$$\begin{pmatrix} 3 & 1 & & & \\ 1 & 4 & 1 & & \\ & 1 & 4 & 1 & \\ & & \dots & \dots & \dots \\ & & & 1 & 4 & 1 \\ & & & & \frac{4}{3} & 4 \end{pmatrix} \begin{pmatrix} d_2 \\ d_3 \\ \dots \\ d_{n-3} \\ d_{n-2} \end{pmatrix} = \begin{pmatrix} 6p_1 \\ 6p_2 \\ \dots \\ 6p_{n-3} - \frac{2}{3}q_{n-3} \end{pmatrix}$$

而其余由下列式子求出:

$$4d_1 + 4d_2 = 6p_0 + 2q_0,$$

$$\frac{1}{2}(-d_0 + 3d_2) = q_0,$$

$$\frac{1}{2}(-d_{n-3} + 3d_{n-1}) = q_{n-3}$$

这时系统矩阵是对角占优的三对角矩阵,对其进行 LU 分解得:

$$L = \begin{pmatrix} 1 & & & \\ & 2 & & \\ & & \dots & \dots \\ & & & n-2 & n-2 \end{pmatrix},$$

$$U = \begin{pmatrix} 1 & & & & \\ & 1 & & & \\ & & 1 & 2 & \\ & & \dots & \dots & \\ & & & 1 & n-3 \\ & & & & 1 \end{pmatrix}.$$

其中: $i = 1 (i = 2, 3, \dots, n-3); \quad n-2 = \frac{4}{3}; \quad 1 =$

$3; \quad k = 4 - \frac{1}{k-1} (k = 2, 3, \dots, n-3); \quad n-2 = 4 -$

$\frac{4}{3^{n-3}}; \quad k = \frac{1}{k} (k = 1, 2, \dots, n-3); \quad n-2 = \frac{4}{3^{n-2}}.$

注意到

$$\begin{pmatrix} 1 & & & & \\ & 1 & & & \\ & & 1 & & \\ & & & \dots & \dots \\ & & & & 1 & 1 \\ & & & & & 1 \end{pmatrix}^{-1} = \begin{pmatrix} 1 & 12 & 13 & \dots & 1_{n-3} \\ & 1 & 23 & \dots & 2_{n-3} \\ & & & \dots & \dots \\ & & & & 1 \end{pmatrix}$$

其中 $ij = (-1)^{j-i} i_{i+1} \dots j_{j-1}$

而
$$\begin{pmatrix} 1 & & & & \\ & 1 & 2 & & \\ & & 1 & 3 & \\ & & & \dots & \dots \\ & & & & 1 & n-4 \\ & & & & & \frac{4}{3} & n-3 \end{pmatrix}^{-1} =$$

$$\begin{pmatrix} \frac{1}{1} & & & & \\ \frac{(-1)}{1 \ 2} & \frac{1}{2} & & & \\ \frac{(-1)^2}{1 \ 2 \ 3} & \frac{(-1)}{2 \ 3} & \frac{1}{3} & & \\ \dots & \dots & \dots & \dots & \\ \frac{(-1)^{n-5}}{1 \ \dots \ n-4} & \frac{(-1)^{n-6}}{2 \ \dots \ n-4} & \frac{(-1)^{n-7}}{3 \ \dots \ n-4} & \dots & \frac{1}{n-4} \\ \frac{4(-1)^{n-4}}{3 \ 1 \ \dots \ n-3} & \frac{4(-1)^{n-5}}{3 \ 2 \ \dots \ n-3} & \frac{4(-1)^{n-6}}{3 \ 3 \ \dots \ n-3} & \dots & \frac{4(-1)}{3 \ n-4 \ n-3} & \frac{1}{n-3} \end{pmatrix}$$

令
$$ij = \frac{(-1)^{j-1}}{i \cdots j}$$

则
$$\begin{pmatrix} 1 & & & & \\ 1 & 2 & & & \\ & 1 & 3 & & \\ & & \cdots & \cdots & \\ & & & 1 & n-4 \\ & & & & \frac{4}{3} & n-3 \end{pmatrix}^{-1} = \begin{pmatrix} 11 & & & & \\ 21 & 22 & & & \\ 31 & 32 & 33 & & \\ \cdots & \cdots & \cdots & \cdots & \\ n-41 & n-42 & n-43 & \cdots & n-4n-4 \\ \frac{4}{3} & n-31 & \frac{4}{3} & n-32 & \frac{4}{3} & n-33 & \cdots & \frac{4}{3} & n-3n-4 & n-3n-3 \end{pmatrix}$$

解方程组得

$$\begin{pmatrix} d_2 \\ d_3 \\ \cdots \\ d_{n-2} \end{pmatrix} = \begin{pmatrix} 1 & 12 & 13 & \cdots & 1n-3 \\ & 1 & 23 & \cdots & 2n-3 \\ & & & \cdots & \\ & & & & 1 \end{pmatrix} \times \begin{pmatrix} 11 & & & & \\ 21 & 22 & & & \\ 31 & 32 & 33 & & \\ \cdots & \cdots & \cdots & \cdots & \\ n-41 & n-42 & n-43 & \cdots & n-4n-4 \\ \frac{4}{3} & n-31 & \frac{4}{3} & n-32 & \frac{4}{3} & n-33 & \cdots & \frac{4}{3} & n-3n-4 & n-3n-3 \end{pmatrix} \times \begin{pmatrix} 6p_1 \\ 6p_2 \\ \cdots \\ 6p_{n-3} - \frac{2}{3}q_{n-1} \end{pmatrix}$$

因此, $d_i(i = 1, \dots, n - 2)$ 可以直接求出,而不必每次求解方程组,故在实时设计和控制等领域中有广泛的应用价值.

4 算例与结论

文中对以上算法进行了编程实现,程序运行结果如图1所示.

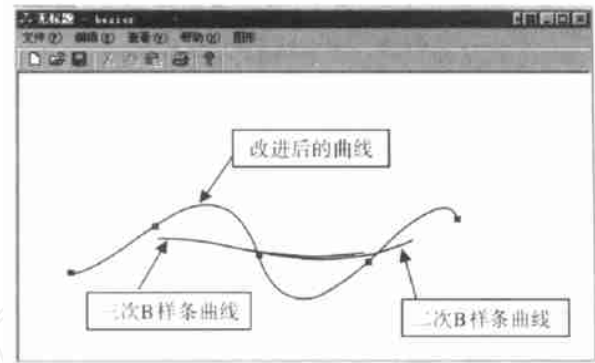


图1 3种曲线类型

Fig.1 The three type curves

在主频为 1.5 GHz 的微机上,生成曲线的算法可根据文献[4],效果明显.对改进后的 B 样条曲线,控制点可任意移动,曲线始终经过控制点,响应非常迅速;同时,插入一些控制点后,曲线响应也非常快,对自由设计很有好处.几种曲线算法对比结果见表1.

表1 各种算法的比较

Tab.1 The comparison of some algorithms				
	二次 B 样条	三次 B 样条	改进的二 次 B 样条	改进的三 次 B 样条
变更控制点响应	慢	慢	快	快
生成曲线	慢	慢	快	快
保凸性	好	好	不好	好

传统的曲线保凸性较好,文中二次 B 样条曲线的保凸性不是很理想,要控制点较平滑才行,因此,其保凸性处理还有待进一步研究.

参考文献:

[1] 施法中. 计算机辅助几何设计与非均匀有理 B 样条(CAGD &NURBS) [M]. 北京:北京航空航天大学出版社,1994.
[2] 朱心雄. 自由曲线曲面造型技术[M]. 北京:科学出版社,2000.
[3] LAXMI PARIDA. A Computational technique for general shape deformation for use in font design[J]. Computer &Graphics, 1993,17(4):349 - 356.
[4] 刘勇奎. 计算机图形学的基础算法[M]. 北京:科学出版社,2001.

(责任编辑:邢宝妹)